

УДК 621.793+539.374

ОСОБЕННОСТИ ДЕФОРМИРОВАНИЯ МИКРОЧАСТИЦ ПРИ УДАРЕ О ТВЕРДУЮ ПРЕГРАДУ

А. П. Алхимов, А. И. Гулидов, В. Ф. Косарев, Н. И. Нестерович

Институт теоретической и прикладной механики СО РАН, 630090 Новосибирск

На основе экспериментальных данных и численного моделирования показано, что при высокоскоростном ударе ($v_0 \approx 500 \div 1200$ м/с) мелкой металлической частицы ($d = 1 \div 50$ мкм) о твердую недеформируемую преграду вблизи контактной поверхности может сформироваться тонкий слой расплавленного металла толщиной порядка $0,01d$, в котором температура близка к температуре плавления материала частицы.

Формирование покрытия при натекании «холодной» высокоскоростной струи на преграду находит все большее применение в технологиях газодинамического напыления [1, 2]. Однако природа соединения с преградой металлических частиц, имеющих скорость $v_0 \approx 500 \div 1200$ м/с и температуру, существенно меньшую температуры плавления материала частиц, неясна. Сложность исследования этого явления обусловлена, в частности, малыми размерами частиц ($d \approx 10^{-6}$ м), кратковременностью взаимодействия ($\tau \approx 10^{-8}$ с), неопределенностью фазового состояния взаимодействующих объектов в микрообъемах вблизи контактных границ и т. д.

В данной работе на основе экспериментальных данных и численного моделирования изучается важный вопрос о возможности формирования тонкого расплавленного слоя в окрестности контакта в процессе удара отдельной частицы о твердую преграду.

Ранее [1, 2] установлена следующая закономерность: формирование покрытия возможно, когда кинетическая энергия частицы превышает примерно $1/3$ величины тепловой энергии, соответствующей температуре плавления, независимо от материала частиц.

Кроме того, анализ закрепившихся после удара на полированной подложке частиц, проведенный с помощью электронной и оптической микроскопии, позволил выявить характерные особенности их деформирования. На рис. 1 представлены микрофотографии частиц алюминия на поверхности меди. Видно, что на конечном этапе пластического деформирования на периферии контакта образуются короннообразные выбросы металла. Вероятнее всего, они появляются в результате формирования высокоскоростной радиальной струи металла у стенки, напоминающей кумулятивную. Основную роль здесь играют процессы, протекающие вблизи контакта, где происходит интенсивная деформация и перекачка механической энергии в тепловую. В этих условиях в окрестности стенки при ударе может сформироваться тонкий расплавленный слой металла. Образование этого слоя зависит от баланса генерации и отвода тепла.

Было выполнено численное моделирование соударения алюминиевой частицы диаметром $d = 2R = 50$ мкм с жесткой преградой при начальной скорости $v_0 = 800$ м/с и температуре $T_0 = 300$ К. Использовался программный комплекс KRUG24, в основу алгоритма которого положены лагранжев подход и математическая модель Прандтля — Рейса течения упругопластического материала. Главные отличия использованного алгоритма расчета динамических задач механики сплошной среды от известных подходов изложены в работах [3, 4].

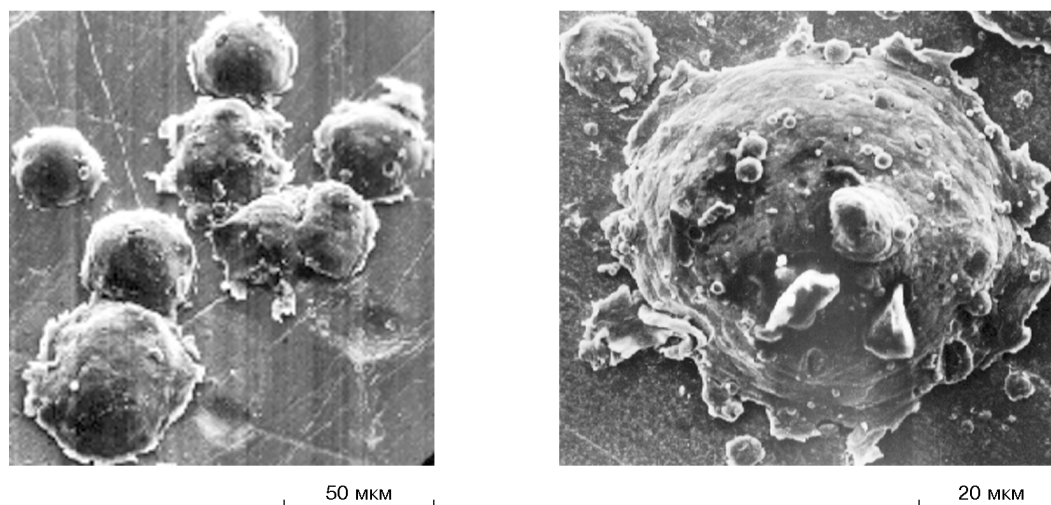


Рис. 1

Расчет конкретной задачи проводился следующим образом. Расчетная область покрывалась разностной сеткой, состоящей из треугольных ячеек, масса которых задавалась в начальный момент и сохранялась в течение всего расчета. Численное интегрирование уравнений сохранения и определяющих соотношений математической модели среды производилось шагами по времени, которые выбирались из условия устойчивости Куранта. В узлах сетки определялись скорости и координаты, а в геометрических центрах ячеек — их текущие плотность, давление, удельная внутренняя энергия и компоненты дивергента тензора напряжений. Таким образом, на каждом временном шаге полностью рассчитывалось напряженно-деформированное состояние во всей области. Перераспределение тепла за счет теплопроводности не учитывалось.

В известной нам литературе сведения о характеристиках материала микрочастиц, определяющих его прочностные свойства, отсутствуют. Например, в работе [5] динамическую твердость частиц предлагалось выбирать примерно в полтора раза больше статической. В методе решения, применяемом в данном случае, в качестве основной прочностной характеристики материала использовался динамический предел текучести, который считался постоянным в процессе деформирования. Проведенные ранее исследования высокоскоростного соударения различных макротел с преградами показали, что такая математическая модель позволяет получать решение широкого круга динамических задач, причем результаты удовлетворительно согласуются с известными экспериментальными данными [4].

Указанные выше эксперименты по взаимодействию алюминиевых частиц с полированной подложкой при малой их концентрации позволили определить характерную деформацию частиц, в частности отношение конечной высоты частицы к начальному диаметру. При скоростях примерно 800 м/с это отношение составляет величину порядка 0,25. При этом подложка заметно не деформируется. Учитывая данный факт, в численных расчетах принималось, что преграда является абсолютно жесткой стенкой. В качестве граничного ставилось условие непроникания и скольжения с трением и без трения.

Результаты расчета сравнивались с экспериментами по конечной деформации частиц, что позволило выбрать динамический предел текучести $Y = 450$ МПа, дающий результаты, наиболее близкие к экспериментальным. Далее все расчеты проводились при указанном динамическом пределе текучести.

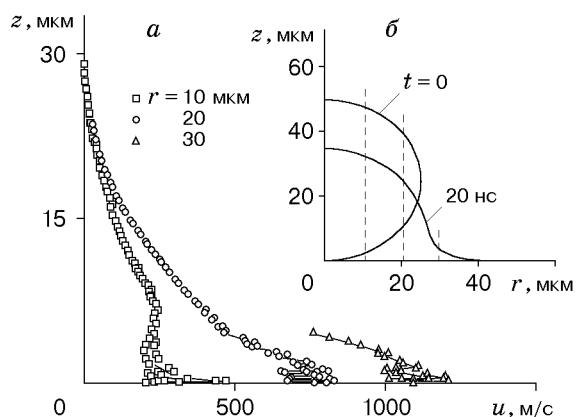


Рис. 2

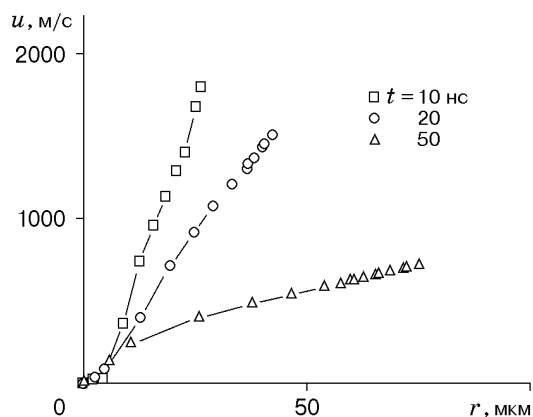


Рис. 3

На рис. 2, 3 приведены результаты расчетов с граничным условием без трения. На рис. 2 представлены: *a* — распределение радиальной составляющей скорости u по высоте частицы в момент времени $t = 20 \cdot 10^{-9}$ с в трех сечениях по радиальной координате; *б* — контур частицы при $t = 0$; 20 нс. Естественно, что наибольшая скорость наблюдается в наиболее удаленной по радиусу точке. Кроме того, в каждом сечении скорость возрастает при приближении к преграде и достигает максимальных значений в слое, примыкающем к преграде (толщина этого слоя составляет примерно $0,05 d$). На рис. 3 представлены распределения радиальной составляющей скорости по радиусу в различные моменты времени в пристенных ячейках. На ранней стадии удара радиус контактной поверхности меньше R (при $t = 10 \cdot 10^{-9}$ с он становится равным R), а максимальная скорость примерно в два раза превышает скорость удара v_0 . В дальнейшем в результате растекания материала частицы по преграде происходит увеличение радиуса поверхности контакта и как следствие торможение крайней точки этой поверхности за счет радиального расширения и сопротивления материала сдвиговым деформациям.

Рассчитывалось также распределение удельной внутренней энергии e в ячейках разностной сетки в слое толщиной 1 мкм у преграды. Приращение внутренней энергии равно работе сдвиговых напряжений на соответствующих пластических деформациях. Далее оценивалась температура в материале частицы исходя из предположения, что применима формула $e = c_v T$ ($c_v = \text{const}$). Вблизи стенки увеличение температуры по сравнению с начальной $\Delta T \approx 600$ К.

Таким образом, численное моделирование подтвердило предположение о наличии области высокоскоростного пристенного течения металла в радиальном направлении (см. рис. 2). В некоторые моменты времени (при условии идеального скольжения на стенке) в ряде точек скорость в пристенном течении превышает скорость удара примерно в два раза. Это течение возникает в результате разгрузки импульсного давления после выхода ударной волны в частице за пределы контактной площадки и может привести к выбросам тонких пленок материала частицы по периферии контакта (см. рис. 1).

Расчеты, выполненные с учетом закона трения Кулона (задавался коэффициент трения), показали, что трение на стенке приводит к уменьшению скорости пристенного течения и небольшому уменьшению конечной деформации. С точки зрения физики этого процесса в качестве граничных нужно ставить условия прилипания, которые приводят к возникновению тонкого пограничного слоя, для описания которого необходимо внести существенные изменения в физико-математическую модель: учесть теплообмен и возможность расплавления металла; по закону Стокса определить трение в слое расплава; дополнительно измельчить расчетные ячейки в пристенной области.

С учетом сказанного выше выбрана приближенная схема формирования слоя расплавленного металла на основе классических законов трения и теплообмена с использованием интегральных методов для пограничного слоя. Ниже показано, что плавление возможно, чем оправдано принятое выше условие идеального скольжения.

Рассмотрим баланс генерации и отвода тепла у стенки с учетом полученных результатов по деформированию частицы в целом. Заметим, что в общем случае при течении расплавленного металла вдоль стенки толщина температурного слоя δ_T превышает толщину вязкого пограничного слоя из-за малости числа Прандтля Pr . В нашем случае толщина расплавленного слоя δ_H может быть больше или равна толщине вязкого слоя δ_μ . Определим условия, при которых возможен каждый из этих случаев.

Если $\delta_H > \delta_\mu$ при любом r , то вязкий пограничный слой развивается, как в несжимаемой вязкой жидкости, в окрестности критической точки при осесимметричном натекании потока на стенку, поскольку в нашей задаче скорость течения при $z = 0$ линейно зависит от радиуса (см. рис. 3): $u_r = ar$, где u_r — скорость на границе слоя (равная скорости на стенке, полученной при численном моделировании деформации всей частицы); r — расстояние от оси симметрии сферической частицы. Постоянная величина a , как показано на рис. 3, зависит от времени, но для приближенных оценок нестационарностью можно пренебречь (рассмотрев квазистационарные граничные условия), чтобы воспользоваться точным решением уравнений Навье — Стокса для аналогичной задачи [6]. Точное решение дает

$$\delta_\mu = 2 \sqrt{\mu/(\rho a)}, \tag{1}$$

где μ — динамическая вязкость; ρ — плотность.

В дальнейшем параметр a будем оценивать следующим образом:

$$a = u_R/R, \tag{2}$$

где u_R — скорость на границе слоя при $r = R = d/2$.

Вязкость жидких металлов вблизи температуры плавления приближенно описывается формулой $\mu = (T_{пл}/T) \cdot 2,75 \cdot 10^{-3}$ Па · с. Далее показано, что $T_{пл}/T$ немного меньше единицы, поэтому принимаем $\mu \approx 2,5 \cdot 10^{-3}$ Па · с.

Характерная величина скорости u_R по результатам расчета деформации частицы $d = 50$ мкм при $v_0 = 800$ м/с составляет $u_R \approx 1500$ м/с. Из (1) и (2) получим

$$\delta_\mu/R = 2/\sqrt{Re},$$

где $Re = Ru_R\rho/\mu$ — число Рейнольдса. Подставляя в эту формулу параметры для алюминиевой частицы, получим $Re = 0,405 \cdot 10^5$ и соответственно $\delta_\mu/R = 0,86 \cdot 10^{-2} \approx 0,01$.

Таким образом, подтверждается предположение о малой толщине δ_μ и правомерности разделения задач для внешнего течения и пограничного слоя.

Для оценки толщины расплавленного слоя δ_H в случае, когда $\delta_H > \delta_\mu$, рассмотрим баланс тепла в приграничной зоне в интегральном приближении:

$$d \int_0^{\delta_H} 2\pi r u \rho H dz \approx 2\pi r dr \int_0^{\delta_\mu} \mu \left(\frac{\partial u}{\partial z} \right)^2 dz. \tag{3}$$

Здесь H — удельная теплота плавления (для алюминия $H \approx 400 \cdot 10^3$ Дж/кг); $\mu(\partial u/\partial z)^2$ — объемный источник тепла, производимого вязким трением. Левая часть (3) представляет собой приращение по r потока тепла через цилиндрическую поверхность радиуса r , уносимого расплавленным металлом в виде скрытой теплоты плавления.

Следует отметить, что в уравнении (3) не учтены дополнительный нагрев металла после расплавления, а также теплопередача за пределы верхней и нижней границ слоя δ_H .

Будем считать, что профиль скоростей в вязком пограничном слое соответствует распределению при ламинарном течении. Тогда

$$\int_0^{\delta_H} 2\pi r u_r \rho H dz \approx \delta_H \cdot 1,5\pi r u_r \rho H, \quad 2\pi r dr \int_0^{\delta_\mu} \mu \left(\frac{\partial u}{\partial z}\right)^2 dz \approx \delta_\mu \cdot 1,5\mu \left(\frac{u_r}{\delta_\mu}\right)^2 2\pi r dr.$$

С учетом принятых аппроксимаций после элементарных преобразований получим $r(d\delta_H/dr) = \delta_\mu u_r^2/(4H) - 2\delta_H$.

Учитывая, что в рассматриваемом случае δ_μ не зависит от r (см. (1)), полученное уравнение запишем в виде

$$r \frac{d(\delta_H/\delta_\mu)}{dr} = \frac{u_r^2}{4H} - 2 \frac{\delta_H}{\delta_\mu}.$$

Рассмотрим знак производной в точке, где $\delta_H = \delta_\mu$. Если производная положительна ($u_r^2 \geq 8H$), то толщина расплавленного слоя растет по r быстрее толщины вязкого слоя. Для алюминия $H = 400 \cdot 10^3$ Дж/кг и $u_r \geq 1800$ м/с, что соответствует $v_0 \geq 1000$ м/с.

Рассмотрим случай $v_0 \leq 1000$ м/с, когда $\delta_H = \delta_\mu = \delta$. Профиль скоростей в пограничном слое примем линейным. Интегральный баланс генерируемого и уносимого тепла будет иметь следующий вид:

$$d(0,5\delta \cdot 2\pi r u_r \rho H) \approx \delta \mu \left(\frac{u_r}{\delta}\right)^2 2\pi r dr.$$

После соответствующих преобразований получим

$$\frac{1}{2} \frac{\delta}{r} \frac{d\delta}{dr} + \left(\frac{\delta}{r}\right)^2 = \frac{u_R^2}{\text{Re } H}.$$

Этому уравнению удовлетворяет выражение $\delta/r = \sqrt{2/3} u_R / \sqrt{\text{Re } H}$. Видно, что при $\delta_T = \delta_\mu = \delta$ толщина пограничного слоя δ увеличивается пропорционально r . В нашем случае $(\delta/r)_{r=R} \approx 0,96 \cdot 10^{-2}$. При $r = R$ получаем $\delta \approx 0,24$ мкм.

Оценим температуру в пограничном слое. Поток тепла, выносимого расплавленным металлом из контрольного объема, ограниченного цилиндрической поверхностью радиуса r , вычисляется по формуле

$$Q = 0,5\delta u_\delta \cdot 2\pi r \rho H = \frac{u_R^2 \rho H}{\sqrt{\text{Re } H}} \frac{\pi r^3}{R}. \quad (4)$$

Если стенка теплоизолированная, то поток тепла к верхней границе слоя, где происходит плавление, определяется следующим образом:

$$q = \frac{dQ}{dS} \approx \lambda \frac{\Delta T}{\delta/2}, \quad (5)$$

где $S = \pi r^2$; $\lambda = \mu c_p / \text{Pr}$ — коэффициент теплопроводности; c_p — удельная теплоемкость; Pr — число Прандтля; $\Delta T = T - T_{\text{пл}}$; T — усредненная температура в пограничном слое. Из (4) и (5) получим

$$\Delta T \approx \frac{1}{2} \frac{u_R^2}{c_p} \text{Pr} \left(\frac{r}{R}\right)^2.$$

При $r = R$ оценка для жидкого алюминия ($c_p = 1084$ Дж/(кг · К); $Pr = 0,037$) дает $\Delta T = 38$ К. Этот результат подтверждает правильность использования предположения о незначительном перегреве металла в пограничном слое.

Учет теплоотвода из пограничного слоя в стенку, перегрева металла в слое и нагрева металла вне слоя до температуры плавления дает еще меньшие значения толщины δ , поэтому полученные оценки можно считать верхними.

Данный анализ показывает, что при ударе мелкой металлической частицы о твердую недеформируемую преграду вблизи поверхности может формироваться тонкий слой расплавленного металла толщиной $\delta < 0,015d$, в котором температура близка к температуре плавления металла частицы. Образованием такого слоя можно объяснить и само явление высокой адгезии частиц с подложкой при газодинамическом напылении.

ЛИТЕРАТУРА

1. Алхимов А. П., Косарев В. Ф., Папырин А. Н. Метод «холодного» газодинамического напыления // Докл. АН СССР. 1990. Т. 315. С. 1062–1065.
2. Алхимов А. П., Косарев В. Ф., Папырин А. Н. и др. Новые материалы и технологии. Теория и практика упрочнения материалов в экстремальных процессах. Новосибирск: Наука. Сиб. издат. фирма, 1992.
3. Гулидов А. И., Шабалин И. И. Метод свободных элементов. Приложение к решению задач разрушения упругопластических тел в процессе ударного взаимодействия. Новосибирск, 1994. (Препр. / РАН. Сиб. отд-ние. Ин-т теорет. и прикл. механики; № 9-94).
4. Гулидов А. И., Шабалин И. И. Моделирование разрушенного материала дискретными частицами конечного размера // ПМТФ. 1997. Т. 38, № 3. С. 14–19.
5. Кудинов В. В., Пекшев П. Ю., Белащенко В. Е. и др. Нанесение покрытий плазмой. М.: Наука, 1990.
6. Шлихтинг Г. Теория пограничного слоя. М.: Наука, 1969.

Поступила в редакцию 11/XII 1998 г.
